

При этом в обоих случаях I_{\max} соответствовало углу $\varphi = 90^\circ$ или 270° , т. е. когда ось анализатора была параллельна оси $c \parallel \langle 001 \rangle$. Через P_{cb} и P_{ca} обозначим степени поляризации при направлениях наблюдения $\langle 100 \rangle$ и $\langle 010 \rangle$ соответственно. Экспериментальная установка описана ранее [5].

Степень поляризации люминесценции при 4.2°K составляет $P_{cb} \approx P_{ca} \approx 11 \pm 2\%$. С повышением температуры наблюдается рост ее, затем спад (рис. 2). Если для P_{ca} максимальное значение достигается при $\sim 30^\circ\text{K}$, то для P_{cb} — при $\sim 36^\circ\text{K}$. Прежде

КРАТКИЕ СООБЩЕНИЯ

УДК 535.37

О ТЕМПЕРАТУРНОЙ ЗАВИСИМОСТИ ПОЛЯРИЗАЦИИ ЛЮМИНЕСЦЕНЦИИ АВТОЛОКАЛИЗОВАННЫХ ЭКСИТОНОВ В БРОМИСТОМ СВИНЦЕ

В. Г. Плеханов

В настоящее время доказано, что собственное свечение широкого класса ионных кристаллов является свечением автолокализованных экситонов. При этом автолокализация экситонов может происходить как за счет образования квазимолекулы типа Cl_2^* (ЩГК), либо благодаря захвату одного из носителей на одном узле решетки типа Ag^{2+*} (AgCl) [1–3].

При рекомбинационном создании экситонов наблюдается поляризованная люминесценция экситонов в ЩГК [1]. В Al_2O_3 была также наблюдена поляризация собственного свечения при рентгеновском возбуждении [4]. Вместе с тем до сих пор не выяснена температурная зависимость поляризации $P(T)$ люминесценции автолокализованных экситонов. Этой цели посвящена настоящая работа, в которой была исследована зависимость $P(T)$ люминесценции автолокализованных экситонов в кристаллах PbBr_2 .

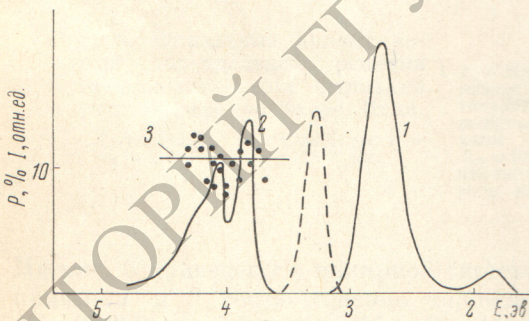


Рис. 1.

1 — спектр излучения при возбуждении в длинноволновой полосе поглощения (штриховая — по де Грейтеру [3]); 2 — спектр возбуждения экситонной люминесценции, 3 — поляризационный спектр экситонного излучения (PbBr_2 , 4.2°K).

Свечение автолокализованных катионных экситонов в PbBr_2 при 4.2°K состоит из полосы с $E_M = 2.73$ эВ [3]. Это свечение характеризуется большими стоксовыми потерями (рис. 1), а также низкотемпературным тушением. Степень поляризации люминесценции определялась из зависимости интенсивности люминесценции I от угла φ между осью пропускания анализатора и вертикальной осью $a \parallel \langle 100 \rangle$, либо $b \parallel \langle 010 \rangle$

$$P = (I_{\max} - I_{\min}) / (I_{\max} + I_{\min}). \quad (1)$$

При этом в обоих случаях I_{\max} соответствовало углу $\varphi = 90^\circ$ или 270° , т. е. когда ось анализатора была параллельна оси $c \parallel \langle 001 \rangle$. Через P_{cb} и P_{ca} обозначим степени поляризации при направлениях наблюдения $\langle 100 \rangle$ и $\langle 010 \rangle$ соответственно. Экспериментальная установка описана ранее [5].

Степень поляризации люминесценции при 4.2°K составляет $P_{cb} \approx P_{ca} \approx 11 \pm 2\%$. С повышением температуры наблюдается рост ее, затем спад (рис. 2). Если для P_{ca} максимальное значение достигается при $\sim 30^\circ\text{K}$, то для P_{cb} — при $\sim 36^\circ\text{K}$. Прежде

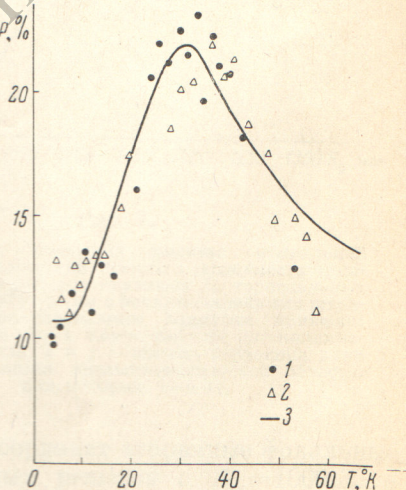


Рис. 2. Температурная зависимость степени поляризации экситонной люминесценции PbBr_2 . 1, 2 — эксперимент, P_{ca} и P_{cb} соответственно, 3 — теоретический расчет по формуле (6).

чем дать описание наблюдаемой зависимости $P(T)$, необходимо оценить степень поляризации, которая может быть наведена анизотропией кристалла. Влияние среды на интенсивность свечения определяется главными значениями тензора диэлектрической проницаемости (см. также [5]). Они определены для желтой линии натрия: $\epsilon_a^0=6.5$; $\epsilon_b^0=6.12$; $\epsilon_c^0=5.92$ [6]. Наблюдающееся свечение находится в области нормальной дисперсии, где среднее значение $\epsilon^0=7.1$ [7] и ϵ_a^0 , ϵ_b^0 и ϵ_c^0 имеют еще близкие значения. Оценка показывает, что при выходе света из кристалла наводится поляризация $P_{ca} \leq 4\%$, т. е. гораздо меньше, чем наблюдается, следовательно, основная часть обусловлена анизотропией излучателя (автолокализованного катионного экситона).

Согласно модели катионного экситона [3, 7], за это свечение ответствен излучательный переход $B_{1,2,3u} \rightarrow A_{1g}$ в ионе свинца. Таким образом, имеется три неэквивалентных состояния. В этом случае скорость изменения относительной заселенности z (B_{3u} -состояния) имеет вид (см. также [8])

$$\dot{n}_z = w_{yz}n_y + w_{xz}n_x - (w_{zy} + w_{zx})n_z. \quad (2)$$

В силу почти одинаковой зависимости $P_{ca}(T)$ и $P_{cb}(T)$ положим вероятность безызлучательного перехода из x (B_{1u} -состояния) в z (B_{3u} -состояние) равной вероятности перехода из y (B_{2u} -состояния) $w_{yz}=w_{zx}$. Кроме того, вследствие принципа детального равновесия $w_{zy}=w_{zx}=we^{-E/kT}$. Учитывая также, что $n_x+n_y+n_z=1$, решением уравнения (2) будет

$$n_z^{\text{стаци.}}(T) = \frac{1}{1+2e^{-E/kT}} + \frac{n_z(0) - \frac{1}{1+2e^{-E/kT}}}{1+w\tau(1+2e^{-E/kT})}, \quad (3)$$

где $n_z(0)=n_z(t)|_{t=0}$ — относительная заселенность z -состояния в начальный момент времени, $\tau=1/\gamma$, γ — вероятность радиационного распада, а E — расстояние между z - и x -состояниями. Заселенность при стационарном возбуждении определена по формуле

$$n_z^{\text{стаци.}}(T) = \gamma \int_0^\infty e^{-\gamma t} n_z(t) dt. \quad (4)$$

Принимая во внимание, что степень поляризации при сделанных выше предположениях определяется формулой [8]

$$P_{zx} = P_{ca} = (3n_z - 1)/(n_z + 1) \quad (5)$$

и используя для вероятности w классическую формулу $w=De^{-\Delta/kT}$ (Δ — высота потенциального барьера между x (y)- и z -состояниями, D — частотный фактор), получено следующее выражение для зависимости P_{zx} в стационарных условиях:

$$P_{zx} = \frac{3n_z(0) - 1 + 2Ce^{-\Delta/kT}(1 - e^{-E/kT})}{n_z(0) + 1 + 2Ce^{-\Delta/kT}(1 + e^{-E/kT})}. \quad (6)$$

В формуле (6) положено, что $C=D\tau$. Из этой формулы видно, что в области низких температур ($Ce^{-\Delta/kT} \ll 1$) нет термического равновесия и поляризация определяется начальной, а при высоких температурах ($Ce^{-\Delta/kT} \gg 1$) равновесной заселенностью. В численных расчетах предположено, что C не зависит от температуры. Наилучшее согласие теории с экспериментом получено при следующих значениях параметров: $C=10.65$; $\Delta=7.4$ мэВ; $E=1.7$ мэВ. Таким образом, расстояние между B_{3u} и B_{1u} -состояниями составляет 1.5 мэВ, тогда как между B_{3u} и B_{2u} — 1.7 мэВ. Значение параметра Δ близко к значению энергии теплового тушения экситонной люминесценции, равной 6 ± 1 мэВ [3]. Это указывает на то, что во время переходов между состояниями $B_{1,2,3u}$ происходит трансляционное перемещение возбуждения, так как тушение экситонной люминесценции определяется миграцией экситонов по кристаллу. Найденный барьер, по-видимому, является барьером между автолокализованным и свободным состояниями экситонов [1, 8].

Интересно отметить, что если до релаксации экситонов расстояние между B_{3u} и B_{2u} -состояниями составляет ~ 25 мэВ, то после релаксации оно равно 1.7 мэВ. К обсуждению этого факта мы предполагаем вернуться в дальнейшем.

Автор благодарен В. В. Хижнякову за постоянный интерес к работе и стимулирующие дискуссии, Е. В. Михайловской за помощь при ориентации кристаллов.

Литература

- [1] Ч. Б. Лущик, Г. Г. Лийдлья. Изв. АН СССР, сер. физ., 37, 334, 1973; M. N. Kableg. Phys. Rev., 136, A1296, 1964.
- [2] H. Kanazaki, S. Sakuragi. Sol. Stat. Commun., 9, 1667, 1971; C. L. Marguare, R. T. Williams, M. N. Kableg. Sol. Stat. Commun., 9, 2285, 1971.

- [3] В. Г. Плеханов, Г. Г. Лийдья. Изв. АН СССР, сер. физ., 38, 1304, 1974; W. C. de Gruijter. J. Sol. Stat. Chem., 6, 151, 1973; Ph. D. Thesis, University of Utrecht, Netherlands, 1972.
- [4] W. A. Runciman. Sol. Stat. Commun., 6, 537, 1968.
- [5] Г. Г. Лийдья, В. Г. Плеханов. Опт. и спектр., 36, 945, 1974.
- [6] А. Н. Винчел, Г. Винчел. Оптические свойства искусственных минералов, 465. Изд. «Мир», М., 1965.
- [7] V. G. Plekhanov. Phys. Stat. Sol. (b) 57, K55, 1973.
- [8] Н. Н. Кристоффель, В. В. Хижняков. Опт. и спектр., 34, 1236, 1973; V. Hizhnjakov, S. Zazubovich, T. Sovovik. Phys. Stat. Sol. (b), 66, 727, 1974.
- [9] Ch. B. Lushchik. Color Centers in Alkali Halides, 189. International Symposium, Rome, 1968.

Поступило в Редакцию 29 июля 1974 г.

УДК 621.373 : 535

ЛАБОРАТОРНЫЕ ИЗМЕРЕНИЯ ОСЛАБЛЕНИЯ ИЗЛУЧЕНИЯ CO₂-ЛАЗЕРА ЧИСТЫМ ВОДЯНЫМ ПАРОМ

B. N. Арефьев, B. I. Дианов-Клоков, B. F. Радионов и N. I. Сизов

В связи с развитием лазерной техники и, в частности, большой перспективностью использования CO₂-лазеров в различных отраслях науки и техники в последнее время заметно усилился интерес к исследованиям ослабления лазерного излучения водяным паром в окне относительной прозрачности атмосферы 8–12 мкм. Однако большинство таких исследований выполнялось на естественных оптических трассах, где имеет место одновременное влияние различных факторов, в том числе недостаточно точно определенных. Модельные же исследования малочисленны и часто не охватывают достаточный диапазон изменения параметров, реализующийся в атмосфере.

В оптической многоходовой кювете с базой 50 м [1] при температуре 20±1°C были проведены измерения пропускания излучения CO₂-лазера трехкилометровым слоем чистого водяного пара при его содержаниях до ω=5 см осажденного слоя. В качестве источника излучения использовался CO₂-лазер промышленного типа ЛГ-22. Анализ спектра излучения с помощью спектрометра с разрешением 0.2 см⁻¹ показал, что генерация попеременно происходила на переходах P(16), P(20), P(22), P(24). Специальные меры по разделению полученных результатов соответственно отдельным линиям не предпринималось. Таким образом, приводимые ниже данные следует рассматривать как усредненные для интервала длин волн 10.60±0.05 мкм.

Для устранения погрешности, связанной с изменением мощности лазера, измерения пропускания излучения проводились по двухканальной схеме. Величина пропускания T_λ определялась из выражения

$$T_\lambda = \frac{I_u/I_k}{I_u^0/I_k^0}, \quad (1)$$

где I_u^0 и I_u — интенсивности излучения при отсутствии водяного пара в кювете (остаточное давление 2·10⁻⁴ тор) и с водяным паром соответственно, а I_k^0 и I_k — интенсивности излучения до входа в кювету.

Водяной пар подавался в кювету небольшими порциями из специального термостатированного испарителя. Измерения пропускания велись после выставления кюветы до наступления равновесного состояния. Содержание водяного пара определялось по величине давления пара в кювете, измеряемого манометром ППР-2М. Общая случайная ошибка измерений пропускания составляла ±8%.

Результаты экспериментов на рисунке представлены точками. Обработка результатов по методу наименьших квадратов показала, что они аппроксимируются следующими выражениями:

$$T_\lambda = e^{-0.048\omega^{1.83}} \quad (2)$$

при $\Sigma=0.0429$,
или

$$T_\lambda = e^{-(0.031\omega+0.029\omega^2)} \quad (3)$$

при $\Sigma=0.0426$ (Σ — среднеквадратичное отклонение величин T_λ) откуда для трассы произвольной длины L (км)

$$T_\lambda = e^{-1.75 \cdot 10^{-3} \omega^{1.83} L} \quad (2')$$

или

$$T_\lambda = e^{-(3.22\omega+0.82\omega^2)10^{-3}L}, \quad (3')$$